

WYNIKI CIĄGŁYCH POMIARÓW HAŁASU W ŚRODOWISKU

DLA LOTNISKA CHOPINA W WARSZAWIE

Nazwa obiektu: Punkt pomiarowy nr 7 „Kossutha”

Data wykonania pomiaru:

początek: 01 - 06-2022

koniec: 30 - 06-2022

Lokalizacja punktu pomiarowego: Warszawa, ul. Kossutha 4

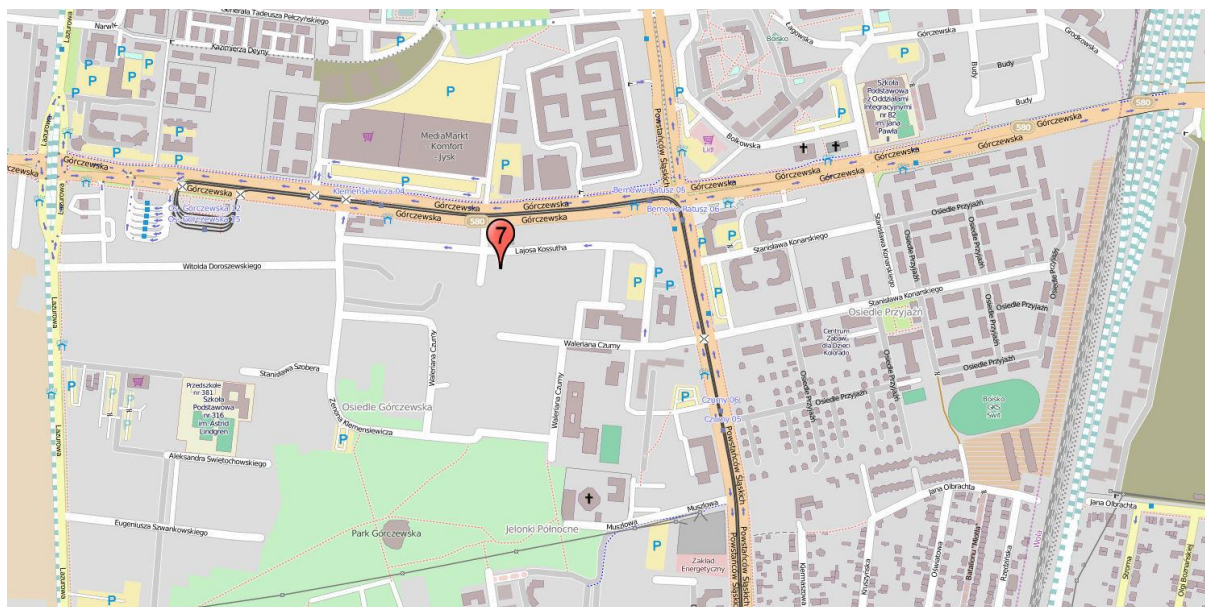
Układ współrzędnych: WGS 84

Szerokość geograficzna: N 52° 14' 15,7”

Długość geograficzna: E 20° 54' 30,4”

Względna wysokość punktu pomiarowego [m]: 37

Lokalizacja na planie:



Metoda badań:

Metoda ciągłych lub okresowych pomiarów monitoringowych: metodyka referencyjna, określona w załączniku nr 1 do rozporządzenia Ministra Środowiska z dnia 16.06.2011 w sprawie wymagań w zakresie prowadzenia pomiarów poziomów substancji lub energii w środowisku przez zarządzającego drogą, linią kolejową, linią tramwajową, lotniskiem, portem.

Metody obliczeniowe: jw.

Aparatura pomiarowa:

Analizator poziomu dźwięku (producent; nr typu): Lochard, EMU-2

Mikrofon/sonda mikrofonowa (producent; nr typu): Lochard, 41DM-2

Świadectwo uwierzytelnienia nr 00028574/02/2021 z dnia 12.07.2021r. wydane przez Laboratorium Akredytowane Nr AP 146

Wzorzec akustyczny (producent; nr typu): Brüel & Kjær; 4228

Równoważny poziom dźwięku w porze dnia i w porze nocy
w odniesieniu do jednej doby, wg wskaźników L_{AeqD} i L_{AeqN}
powodowany przez starty, lądowania i przeloty statków
powietrznych

Dzień miesiąca/ Czerwiec 2022 r.	Równoważny poziom dźwięku	
	Pora dnia L_{AeqD} w dB	Pora nocy L_{AeqN} w dB
1	53,3	0,0
2	51,6	0,0
3	43,4	0,0
4	0,0	46,2
5	52,8	0,0
6	0,0	41,5
7	51,6	43,4
8	49,0	46,7
9	49,9	42,0
10	52,9	43,6
11	51,9	43,4
12	52,4	0,0
13	50,5	44,1
14	53,9	49,2
15	52,2	50,3
16	52,2	0,0
17	51,8	47,1
18	50,7	49,6
19	46,1	0,0
20	52,8	49,1
21	54,0	50,7
22	52,2	46,7
23	51,6	0,0
24	0,0	0,0
25	0,0	0,0
26	0,0	38,4
27	0,0	0,0
28	50,4	47,9
29	51,0	50,6
30	48,5	47,2

Zgodnie z art. 112a ustawy – Prawo ochrony środowiska oraz rozporządzeniem Ministra Środowiska z dnia 16 czerwca 2011 r. *w sprawie wymagań w zakresie prowadzenia pomiarów poziomów substancji lub energii w środowisku przez zarządzającego drogą, linią kolejową, linią tramwajową, lotniskiem lub portem*, do ustalania i kontroli warunków korzystania ze środowiska mają zastosowanie wskaźniki hałasu odnoszące się do jednej doby:

- L_{AeqD} – równoważny poziom dźwięku A dla pory dnia (rozumianej jako przedział czasu od godz. 6.00 do godz. 22.00),
- L_{AeqN} – równoważny poziom dźwięku A dla pory nocy (rozumianej jako przedział czasu od godz. 22.00 do godz. 6.00).

Wyznaczone wartości tych wskaźników dla poszczególnych dni i nocy w czerwcu 2022 podano w tabeli powyżej.

W tabelach poniżej podano zestawienia zdarzeń akustycznych zarejestrowanych w punkcie pomiarowym, na podstawie których wyznaczono wartości wskaźników L_{AeqD} i L_{AeqN} dla poszczególnych dni i nocy w miesiącu.

Zestawienie zdarzeń akustycznych spowodowanych przelotami statków
powietrznych w porze dnia (przedział czasu pomiędzy godz. 06.00 – 22.00)

Nr punktu pomiarowego	Data i godz. zdarzenia	Samolot	Operacja*	L _{Aeq}	L _{Amax}	L _{AE}
				[dB]	[dB]	[dB]
7	01-06-2022 11:48:34	B788	D	72,6	76,7	86,9
7	01-06-2022 12:07:47	E75S	D	70,4	73,8	81,2
7	01-06-2022 12:58:12	B789	D	69,4	71,6	79,4
7	01-06-2022 13:07:08	B788	D	68,3	69,4	77,3
7	01-06-2022 15:19:02	B788	D	69	70,7	79
7	01-06-2022 15:34:16	B789	D	85,7	94,3	106,5
7	01-06-2022 17:10:56	DH8D	D	79,7	86,3	94,6
7	01-06-2022 17:19:07	E195	D	69,9	73,7	78,9
7	01-06-2022 17:29:54	B788	D	75,4	79,7	87,9
7	01-06-2022 17:41:40	B789	D	77,6	81	86
7	01-06-2022 17:49:13	B789	D	81,8	90,7	102,5
7	01-06-2022 18:53:35	CRJ9	D	70,4	77,8	87,4
7	02-06-2022 13:17:23	B789	D	75,8	82	89,6
7	02-06-2022 13:27:02	B788	D	78	81,8	89,8
7	02-06-2022 13:46:40	DH8D	D	77,7	85,4	97,3
7	02-06-2022 13:56:18	DH8D	D	78,1	85,6	95,7
7	02-06-2022 14:35:12	AN28	A	67,6	69,4	77,6
7	02-06-2022 17:04:17	B788	D	73,4	77,5	84,9
7	02-06-2022 17:24:48	E190	D	71,1	74,5	82,6
7	02-06-2022 17:35:12	B788	D	71,2	76,3	85,6
7	02-06-2022 17:37:00	B789	D	70,8	72,6	81,6
7	02-06-2022 18:11:03	B789	D	73,9	78,4	90,1
7	03-06-2022 11:55:53	B788	D	67,9	69	77,9
7	03-06-2022 12:51:56	B788	D	69,3	70	78,4
7	05-06-2022 13:06:35	B738	D	67,3	70,5	77,7
7	05-06-2022 13:25:02	B789	D	70,6	71,6	81,3
7	05-06-2022 13:46:20	B789	D	70,2	71,4	79,8
7	05-06-2022 15:56:10	B789	D	69,2	70,8	78,3
7	05-06-2022 17:18:03	B789	D	70	71,5	80
7	05-06-2022 17:42:23	B788	D	69,5	70,5	79
7	05-06-2022 18:18:17	B789	D	68,9	71,2	80,7
7	05-06-2022 18:23:42	B789	D	69,7	71,3	79,7
7	05-06-2022 19:06:36	B788	D	66,8	67,8	77,6
7	05-06-2022 20:27:39	B789	D	71,2	73,6	82,3
7	07-06-2022 13:18:00	B789	D	70,4	71,7	80,4
7	07-06-2022 16:02:51	B788	D	68,6	69,4	78,1
7	07-06-2022 17:23:09	B788	D	69,4	70,3	79,0
7	07-06-2022 17:52:19	B788	D	69,7	71,7	80,5
7	07-06-2022 18:34:46	CRJ9	D	69,6	73,5	81,0
7	07-06-2022 18:36:35	B789	D	70,0	71,7	81,2
7	07-06-2022 18:54:34	B789	D	69,9	71,8	81,0
7	07-06-2022 18:59:04	B788	D	68,5	69,9	79,3
7	08-06-2022 11:40:42	B788	D	69,0	70,1	78,0
7	08-06-2022 12:47:48	B789	D	71,1	73,1	81,5
7	08-06-2022 15:04:11	B788	D	74,2	81,1	86,0
7	08-06-2022 15:46:07	B788	D	69,0	69,6	79,0
7	08-06-2022 17:58:20	B788	D	69,6	70,1	78,6
7	08-06-2022 19:24:12	B788	D	67,6	68,3	78,4
7	09-06-2022 12:40:50	B789	D	69,9	71,7	80,3
7	09-06-2022 13:26:46	B789	D	70,1	71,8	80,9
7	09-06-2022 18:07:30	B788	D	70,6	75,9	85,8

Nr punktu pomiarowego	Data i godz. zdarzenia	Samolot	Operacja*	L _{Aeq}	L _{Amax}	L _{AE}
				[dB]	[dB]	[dB]
7	09-06-2022 18:17:01	B788	D	67,6	68,9	77,6
7	09-06-2022 18:19:13	B788	D	68,8	70,8	80
7	09-06-2022 18:24:49	B788	D	68,4	70,2	79,8
7	09-06-2022 18:28:17	E195	D	70,8	74,9	83,6
7	10-06-2022 09:14:41	E190	D	71,1	74,3	81,1
7	10-06-2022 11:26:39	E170	D	74,5	79,7	91,5
7	10-06-2022 12:06:54	B789	D	78,1	83,2	96,6
7	10-06-2022 12:09:32	E195	D	79,7	85,7	98,7
7	10-06-2022 13:32:43	B789	D	69,1	70,6	78,2
7	10-06-2022 13:58:36	DH8D	D	69,4	74,5	80,8
7	10-06-2022 14:11:21	AN28	D	73,6	79,3	89,2
7	10-06-2022 14:32:45	E190	D	76	79,8	83,8
7	10-06-2022 14:52:16	B789	D	71,5	73,5	81,1
7	10-06-2022 15:52:31	B788	D	73,2	79,7	87,2
7	10-06-2022 17:13:57	DH8D	D	79	84,3	93,4
7	10-06-2022 17:54:54	B788	D	70,6	74	82,3
7	10-06-2022 18:04:46	B789	D	75,5	82,3	93,2
7	10-06-2022 19:03:38	B788	D	67,2	69	76,8
7	11-06-2022 08:26:45	B789	D	70,6	72,3	80,6
7	11-06-2022 11:12:57	E195	D	69,1	72,6	82,2
7	11-06-2022 12:09:55	B788	D	70,6	72,1	83,2
7	11-06-2022 13:01:15	B789	D	70,9	72,6	82,4
7	11-06-2022 13:23:12	E190	D	73,8	77,2	86,6
7	11-06-2022 16:00:58	B789	D	69,7	71,2	80,9
7	11-06-2022 17:45:50	B789	D	68,8	71,2	81,4
7	11-06-2022 17:57:58	B788	D	69,1	73,9	81,9
7	11-06-2022 18:27:25	B789	D	73	79,7	83,8
7	11-06-2022 21:50:42	E195	D	66,5	67,5	76,5
7	12-06-2022 11:31:31	B789	D	71,3	74,5	87,1
7	12-06-2022 11:35:09	E75S	D	68,1	70,5	80,4
7	12-06-2022 12:12:13	E75S	D	70,4	73	82,1
7	12-06-2022 12:51:12	B789	D	69,8	71,1	79,4
7	12-06-2022 13:01:24	B788	D	70,1	71,9	80,1
7	12-06-2022 16:06:43	B788	D	68,7	72,1	82,5
7	12-06-2022 17:43:43	B789	D	70,4	71,6	80,4
7	12-06-2022 18:06:53	B788	D	68	69,2	78
7	12-06-2022 19:47:08	B789	D	68,9	69,8	78,9
7	13-06-2022 14:36:57	DH8D	D	78,6	85,3	96,4
7	13-06-2022 15:37:53	E190	D	76	79,1	86
7	13-06-2022 15:48:17	DH8D	D	69,6	73	78,7
7	13-06-2022 17:20:32	B789	D	68,8	70,3	81,1
7	13-06-2022 17:22:30	B788	D	69,6	70,4	78,6
7	13-06-2022 17:50:35	B788	D	69,3	70	78,3
7	13-06-2022 19:19:57	B788	D	67,9	70,3	79,7
7	13-06-2022 20:26:53	DH8D	D	66,4	69,1	76,8
7	14-06-2022 08:18:16	E195	D	75,5	80,3	85,1
7	14-06-2022 09:02:48	E190	D	70,7	74,4	82,1
7	14-06-2022 09:28:13	DH8D	A	79,7	83,8	94,8
7	14-06-2022 10:05:15	DA62	D	71,4	76,9	85
7	14-06-2022 11:12:34	DH8D	A	76,3	83	92,3
7	14-06-2022 11:25:19	E75S	D	72,4	76,2	84,2
7	14-06-2022 12:27:10	E75S	D	85,5	90,4	106,3
7	14-06-2022 14:13:22	B788	D	76,9	82,2	88
7	14-06-2022 14:33:17	B789	D	82,9	89,1	101,9

Nr punktu pomiarowego	Data i godz. zdarzenia	Samolot	Operacja*	L _{Aeq}	L _{Amax}	L _{AE}
				[dB]	[dB]	[dB]
7	14-06-2022 15:18:34	E195	D	78,5	83,7	91,2
7	14-06-2022 15:50:24	DH8D	D	68,6	73,3	80,6
7	14-06-2022 16:41:46	B788	D	81	86	101,8
7	14-06-2022 16:46:04	E75S	D	75,4	79,5	89,7
7	14-06-2022 17:18:29	E170	D	71	73,6	80
7	14-06-2022 18:21:32	B788	D	68,1	70,6	79,6
7	14-06-2022 18:42:30	CRJ9	D	68,4	72,6	77,9
7	14-06-2022 19:17:51	AT75	D	68,6	71,2	81,6
7	14-06-2022 20:46:45	DH8D	D	69,8	74,1	82,6
7	14-06-2022 21:05:13	B789	D	70,5	74,4	88,3
7	15-06-2022 08:14:09	E190	D	74,4	79	85,8
7	15-06-2022 08:17:07	B350	D	71,8	73,6	82,2
7	15-06-2022 11:50:06	B789	D	77,3	84,6	95,6
7	15-06-2022 11:59:43	E75S	D	78,8	85,1	99,6
7	15-06-2022 12:59:00	B788	D	78,9	86,9	96,7
7	15-06-2022 13:57:27	DH8D	D	81,4	87,5	101,3
7	15-06-2022 14:05:00	B738	D	70,1	73,9	80,5
7	15-06-2022 14:54:38	E190	D	74,5	76,6	86,3
7	15-06-2022 16:06:53	B788	D	74,1	77,8	90,3
7	15-06-2022 17:35:57	DH8D	D	75	83,4	93,2
7	15-06-2022 17:53:26	B789	D	70	72,7	84,5
7	15-06-2022 17:58:51	B789	D	70,2	73	84,2
7	16-06-2022 16:02:00	CRJ9	A	71,6	73,4	82
7	16-06-2022 20:39:57	B738	A	80,3	87,5	98
7	16-06-2022 20:41:57	E75S	A	75,9	82,6	90,8
7	16-06-2022 20:44:09	B738	A	74,1	77,8	87,7
7	16-06-2022 21:00:36	E190	A	72,2	76,7	86,5
7	16-06-2022 21:26:14	E75S	D	67,1	72,3	80,1
7	17-06-2022 09:40:34	E190	D	69,5	72,2	80,3
7	17-06-2022 11:39:30	B788	D	73,8	78,8	83,8
7	17-06-2022 12:51:15	B789	D	71,5	77,7	88,9
7	17-06-2022 13:31:52	DH8D	D	70,3	76	81,1
7	17-06-2022 14:36:37	B788	D	71	73,4	83,3
7	17-06-2022 15:14:15	B788	D	68,3	70,1	79,1
7	17-06-2022 17:37:59	B789	D	71	76,1	85,6
7	17-06-2022 17:38:51	B789	D	75,3	82,6	95,5
7	17-06-2022 17:53:59	B788	D	68,9	70,3	79,3
7	17-06-2022 19:01:25	B788	D	67	67,6	76,5
7	17-06-2022 21:08:35	A333	D	67,9	69,3	80,2
7	18-06-2022 08:43:18	B789	D	70,3	72,8	81,1
7	18-06-2022 11:53:50	B788	D	70,9	72,8	81,6
7	18-06-2022 12:48:43	B788	D	71,7	76,1	84
7	18-06-2022 13:07:44	B788	D	77,8	82,7	95,3
7	18-06-2022 17:42:33	B788	D	77,8	86	98,3
7	18-06-2022 17:58:53	B788	D	76,3	80,9	97,1
7	18-06-2022 19:06:13	B788	D	66,7	72,1	78,8
7	18-06-2022 19:12:36	E190	D	72,8	78,4	86,4
7	18-06-2022 21:13:27	E75S	D	66,5	67,8	76
7	19-06-2022 11:01:31	DH8D	D	76,1	81	86,1
7	19-06-2022 11:22:41	E75S	D	70,7	74,4	81,1
7	19-06-2022 19:14:05	B77W	A	75,3	80,8	93,1
7	20-06-2022 12:52:16	B788	D	81,6	90,5	100,8
7	20-06-2022 14:13:18	B788	D	80	88,5	93,4
7	20-06-2022 14:25:28	E75S	D	72,6	78	85,6

Nr punktu pomiarowego	Data i godz. zdarzenia	Samolot	Operacja*	L _{Aeq}	L _{Amax}	L _{AE}
				[dB]	[dB]	[dB]
7	20-06-2022 14:29:50	E190	D	72,3	76,5	81,9
7	20-06-2022 15:34:52	B788	D	70,2	72	82
7	20-06-2022 16:56:54	E170	D	80,7	84,7	95,3
7	20-06-2022 18:21:45	B789	D	71	73,7	82,7
7	20-06-2022 19:06:12	A20N	A	70	77,2	81,5
7	20-06-2022 19:08:37	B788	D	70,2	72,4	81,3
7	20-06-2022 19:17:03	B788	D	68,8	71,7	80
7	20-06-2022 19:21:08	B789	D	72	76,9	85
7	20-06-2022 19:26:17	A320	A	73,6	76	83,1
7	20-06-2022 21:05:55	DH8D	D	75,2	81,7	88,7
7	20-06-2022 21:40:27	E75S	D	80,9	86	98,7
7	21-06-2022 06:09:18	PC12	D	83,6	87,9	101,1
7	21-06-2022 07:00:10	C295	D	83,6	90,5	101,6
7	21-06-2022 07:01:30	PC24	D	82,7	91,1	102,4
7	21-06-2022 07:21:17	DH8D	D	74,5	77,5	87,1
7	21-06-2022 09:17:35	E190	D	75,2	81,9	90,4
7	21-06-2022 11:33:17	E75S	D	75,7	83,3	91,3
7	21-06-2022 11:36:43	LJ45	D	90,6	99	111,4
7	21-06-2022 13:33:42	B788	D	89	97,8	109,8
7	21-06-2022 13:42:50	B789	D	87,3	96,6	108,1
7	21-06-2022 14:03:01	A319	D	91,7	99,5	112,5
7	21-06-2022 15:57:01	E75S	A	81	88,1	97,2
7	21-06-2022 16:30:38	LJ75	D	86,8	94,5	107,6
7	21-06-2022 17:23:13	E190	D	89,4	98,1	110,2
7	21-06-2022 17:57:35	B789	D	69,6	72,9	82,3
7	21-06-2022 18:10:59	B788	D	69,4	71,6	79,8
7	21-06-2022 18:26:20	B789	D	72,1	77,8	82,9
7	21-06-2022 18:44:08	B738	D	74,6	79,7	88
7	21-06-2022 18:49:16	CRJ9	D	77,1	87,7	94,9
7	21-06-2022 19:13:48	SF34	D	81,6	89,4	99,4
7	21-06-2022 19:28:19	B789	D	72,6	78,9	85,4
7	21-06-2022 20:59:48	E75S	D	70,8	78,9	88,5
7	22-06-2022 09:53:02	CRJ9	D	77,7	84	95
7	22-06-2022 11:51:36	B788	D	71,5	77,3	85,3
7	22-06-2022 13:44:44	DH8D	D	76,7	86,3	95
7	22-06-2022 14:37:43	E190	D	72,3	76,5	81,8
7	22-06-2022 15:44:39	B788	D	70,5	73,3	85
7	22-06-2022 17:21:48	B789	D	72	75,5	84,1
7	22-06-2022 17:42:30	B788	D	68,4	69,1	77,5
7	22-06-2022 17:59:08	B789	D	69,7	71,2	79,3
7	22-06-2022 18:08:32	B789	D	66,5	68,2	78,5
7	22-06-2022 18:56:15	B788	D	73,7	79,5	86,2
7	23-06-2022 13:16:25	B789	D	70,4	71,7	81,6
7	23-06-2022 13:56:22	B788	D	68,8	70,2	78,4
7	23-06-2022 15:28:36	B789	D	70,9	72,6	80,5
7	23-06-2022 17:18:56	E190	D	75,3	79,9	87,3
7	23-06-2022 17:26:36	B788	D	69	70,3	78,5
7	23-06-2022 17:31:23	B789	D	70,9	73,2	81,7
7	23-06-2022 17:41:30	B788	D	68,6	69,5	78,1
7	23-06-2022 17:58:42	B788	D	69,6	71,2	79,6
7	23-06-2022 18:20:58	B789	D	69,7	71,7	80,5
7	26-06-2022 13:46:44	E190	A	72,3	79,8	89,9
7	27-06-2022 17:36:42	E75S	D	84,5	89,7	98,1
7	28-06-2022 12:58:33	W3	P	76,6	82,2	92,5

Nr punktu pomiarowego	Data i godz. zdarzenia	Samolot	Operacja*	L _{Aeq}	L _{Amax}	L _{AE}
				[dB]	[dB]	[dB]
7	28-06-2022 17:27:02	B788	D	81,4	86,3	97
7	28-06-2022 17:45:51	C25B	D	90	94,8	110,8
7	28-06-2022 18:03:24	B789	D	80,9	89,3	98,7
7	28-06-2022 18:25:51	B789	D	77,8	83	95,6
7	28-06-2022 18:42:16	B789	D	70,3	72,8	81,7
7	28-06-2022 19:10:14	B788	D	70,7	77,5	85,7
7	28-06-2022 19:17:30	E190	D	71,8	78,6	88,5
7	28-06-2022 19:29:05	A320	D	68,8	73,5	82,2
7	28-06-2022 21:28:30	B788	D	66,9	67,9	76,5
7	29-06-2022 16:38:10	B788	D	66,8	68,8	78
7	29-06-2022 16:58:58	B789	D	70,4	72,3	79,5
7	29-06-2022 18:25:52	B788	D	68,2	69,7	79,4
7	29-06-2022 18:44:38	B789	D	69,1	71,2	80,8
7	29-06-2022 18:46:39	B788	D	68	73,7	82,5
7	29-06-2022 19:42:29	B788	D	68,3	70,7	80,3
7	29-06-2022 19:54:45	B788	D	69,3	72	80,1
7	29-06-2022 21:26:56	E75S	D	70,6	74,3	81,4
7	30-06-2022 08:33:30	B738	D	71,1	74,3	81,1
7	30-06-2022 11:24:53	C295	D	76,5	82,3	92,6
7	30-06-2022 12:09:18	E75S	D	73,3	79,1	87,6
7	30-06-2022 12:54:42	B788	D	69,3	70,8	78,9
7	30-06-2022 19:45:16	E190	D	71,3	73,9	81,8

Zestawienie zdarzeń akustycznych spowodowanych przelotami statków powietrznych w porze nocy (przedział czasu pomiędzy godz. 22.00 – 06.00)

Nr punktu pomiarowego	Data i godz. zdarzenia	Samolot	Operacja*	L _{Aeq}	L _{Amax}	L _{AE}
				[dB]	[dB]	[dB]
7	04-06-2022 22:40:27	E195	D	70,0	76,2	86,9
7	04-06-2022 23:16:01	E170	D	67,7	71,5	80,9
7	06-06-2022 23:09:09	E195	D	66,9	69,6	79,9
7	07-06-2022 23:43:20	B788	D	68,0	70,0	79,4
7	08-06-2022 23:01:25	E75S	D	67,3	69,7	80,7
7	09-06-2022 22:06:48	A21N	D	63,9	66,5	76,7
7	09-06-2022 23:06:24	E195	D	74,7	82,0	92,4
7	10-06-2022 22:31:38	B788	D	65,5	66,8	78,1
7	11-06-2022 00:30:45	B38M	D	61,6	62,5	73,0
7	11-06-2022 23:41:07	B788	D	67,0	69,0	78,7
7	13-06-2022 22:08:36	B788	D	65,5	67,2	78,7
7	13-06-2022 23:05:08	B738	D	67,0	69,7	80,4
7	14-06-2022 23:16:33	E170	D	66,0	69,5	78,8
7	14-06-2022 23:25:13	DH8D	D	63,6	65,7	72,6
7	15-06-2022 00:02:01	B788	D	64,2	66,6	78,0
7	15-06-2022 22:53:55	B789	D	68,0	70,5	80,3
7	15-06-2022 23:09:02	E75S	D	66,2	68,5	78,8
7	15-06-2022 23:12:10	E195	D	67,3	68,9	79,9
7	17-06-2022 22:12:17	B788	D	66,0	67,5	77,2
7	17-06-2022 23:03:53	E190	D	67,6	69,1	79,6
7	17-06-2022 23:19:03	B738	D	65,2	66,5	77,5
7	18-06-2022 00:04:49	E195	D	61,8	62,6	70,9
7	18-06-2022 22:49:11	E195	D	71,6	77,5	86,7
7	18-06-2022 23:16:15	E170	D	66,8	70,6	82,2
7	18-06-2022 23:18:00	E170	D	68,4	72,2	81,8

Nr punktu pomiarowego	Data i godz. zdarzenia	Samolot	Operacja*	L _{Aeq}	L _{Amax}	L _{AE}
				[dB]	[dB]	[dB]
7	18-06-2022 23:35:05	B788	D	70,3	73,9	82,4
7	20-06-2022 22:11:39	B788	D	67,2	70,5	78,3
7	20-06-2022 23:17:49	E190	D	71,5	77,4	81,9
7	20-06-2022 23:31:19	DH8D	D	87,0	94,0	104,7
7	20-06-2022 23:50:36	E195	D	73,5	82,5	88,7
7	21-06-2022 05:36:43	SF34	D	80,6	88,8	98,4
7	21-06-2022 23:14:15	E75S	D	72,8	76,8	87,6
7	21-06-2022 23:36:44	E195	D	70,3	73,8	88,1
7	21-06-2022 23:48:49	B788	D	67,3	72,4	84,8
7	22-06-2022 00:08:36	DH8D	D	63,6	68,2	73,1
7	22-06-2022 22:55:29	B789	D	67,8	69,9	80,3
7	27-06-2022 00:51:29	B738	D	67,1	70,9	81,2
7	27-06-2022 01:15:05	B738	D	65,3	69,6	80,7
7	29-06-2022 00:04:30	E195	D	66,3	71,4	84,1
7	29-06-2022 00:30:02	B789	D	64,9	66,5	77,9
7	29-06-2022 22:39:49	B789	D	66,6	69,3	79,8
7	29-06-2022 23:08:49	E75S	D	66,2	68,8	80,3
7	30-06-2022 00:06:11	B763	D	66,1	71,5	80,4
7	30-06-2022 00:08:58	B738	D	66,5	69,3	79,8
7	30-06-2022 00:12:58	E195	D	65,8	68,1	77,6
7	30-06-2022 00:21:23	B38M	D	62,3	63,8	73,1
7	30-06-2022 00:23:03	B738	D	65,4	69,6	79,9
7	30-06-2022 00:29:09	E190	D	65,3	68,4	78,1
7	30-06-2022 00:37:43	E75S	D	63,5	65,9	74,9
7	30-06-2022 00:44:05	DH8D	D	63,4	67,3	76,8
7	01-07-2022 00:15:52	E75S	A	65,7	69,5	78,5
7	01-07-2022 00:36:42	E195	D	68,5	72,0	81,3
7	01-07-2022 01:43:11	B38M	A	72,7	79,9	88,7

LEGENDA

- Samolot – typ statku powietrznego
- Operacja: A – lądowanie, D – start, P - przelot
- L_{Aeq} – równoważny poziom dźwięku dla zdarzenia akustycznego
- L_{Amax} – maksymalny poziom dźwięku dla zdarzenia akustycznego
- L_{AE} – ekspozycyjny poziom dźwięku dla zdarzenia akustycznego
- Kolorem niebieskim oznaczono zdarzenia akustyczne, które miały miejsce w czasie gdy nie były spełnione warunki meteorologiczne¹, a także wystąpiły zakłócenia od innych źródeł hałasu.

¹ Warunki meteorologiczne określone w punkcie D "Referencyjnej metodyki wykonywania ciągłych pomiarów poziomów hałasu wprowadzanego do środowiska przez starty, lądowania i przeloty statków powietrznych w związku z eksploatacją lotnisk oraz kryteria lokalizacji punktów pomiarowych" (Załącznik nr 1 do rozporządzenia Ministra Środowiska z dnia 16 czerwca 2011 r. w sprawie wymagań w zakresie prowadzenia pomiarów poziomów substancji lub energii w środowisku przez zarządzającego drogą, linią kolejową, linią tramwajową, lotniskiem lub portem).

WARUNKI METEOROLOGICZNE DLA LOTNISKA:

Ustalane na wysokości: 106,51 m n.p.m

Wielkości ustalone	Wartości maksymalne	Wartości minimalne	Wartości średnie miesięczne
	w danym miesiącu	w danym miesiącu	
Temperatura [°C]	34,4	7,2	19,8
Wilgotność względna [%]	96	29	65
Ciśnienie atmosferyczne [hPa]	1011,8	993,2	1003,4

Miesięczna róża wiatrów

